

часть масс  $M_X$  образовавшейся системы частиц:  $M_X^2/s < 0,1$ . В зависимости сечения инклюзивной Д. д. при малых передачах импульса от  $M_X^2$  видны известные возбуждения нуклона (рис. 5). Поведение инклюзивных сечений для диссоциации протона как  $M_X^2$  связано со вкладом т. н. трёхмеронного взаимодействия (см. Редже полюсов метод).

Двойную Д. д. кинематически можно выделить, рассматривая распределения образовавшихся частиц по быстротам. Вылетающие в процессе двойной Д. д. частицы

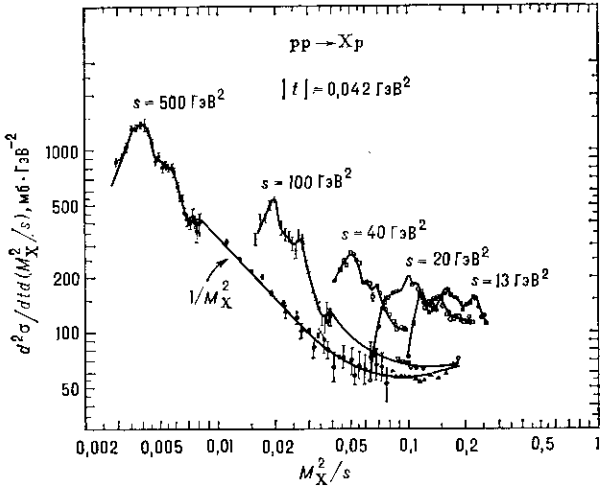


Рис. 5. Зависимость инвариантного дифференциального сечения  $d^2\sigma/dt d(M_X^2/s)$  для процесса  $pp \rightarrow Xp$  при  $|t|=0,042 \text{ ГэВ}^2$  от  $M_X^2/s$  при различных значениях  $s$ . С увеличением энергии область резонансов сдвигается к меньшим значениям  $M_X^2/s$ , тогда как большие массы входят в область дифракции и сечение изменяется  $\sim 1/M_X^2$  (разные значки — результаты различных экспериментов).

ци концентрируются на краях интервала быстрот, а расстояние по быстротам между группами частиц (кластерами) должно быть больше нек-рого мин. значения. В отличие от распределения по массам, распределение по  $|t|$  в Д. д. более полого.

Двойной померонный обмен экспериментально недостаточно изучен. Критич. проверкой природы обмена двумя померонами было бы установление массового спектра центр. кластера, к-рый должен характеризоваться изоспином  $I=0$  и спином и чётностью  $J^P=0^+, 2^+, 4^+, \dots$ . В массовом спектре не должно быть одиночных векторных мезонов. Однако на опыте они наблюдаются, вследствие чего возникает вопрос о самом существовании двойного обмена померонами при достигнутых на ускорителях энергиях частиц.

Лит.: Померанчик И. Я., Собр. науч. трудов, т. 3, М., 1972, с. 141—247; Мухин С. В., Шареев В. А., Дифракционное возбуждение протонов на протонах и дейtronах при высоких энергиях и малых переданных импульсах, «ЭЧАИ», 1977, т. 8, с. 989; Николаев Н. Н., Кварки во взаимодействии лептонов, фотонов и адронов высокой энергии с ядрами, «УФН», 1981, т. 134, с. 369.

**ДИФРАКЦИОННАЯ РАСХОДИМОСТЬ** — уширение светового (волнового) пучка за счёт дифракции света на краях диафрагм, оправ, отверстий и т. п. Д. р. пропорциональна длине световой волны  $\lambda$  и обратно пропорциональна радиусу  $r_0$  диафрагмы. В угловой мере Д. р. когерентного излучения  $\theta_d = \kappa \lambda / r_0$ , где  $\kappa$  — коэф., зависящий от распределения интенсивности на апертуре излучателя (напр., для круглого отверстия, освещённого плоской волной,  $\kappa=0,61$ ). На расстоянии  $z > r_0^2 / \lambda$  от апертуры радиус пучка  $r_z = \theta_d z$ . Угловая Д. р. частично когерентного излучения превосходит  $\theta_d$  примерно в  $r_0/r_k$  раз, где  $r_k$  — длина когерентности. В линейной однородной среде Д. р. принципиально неуст-

ранима, она ограничивает разрешающую способность оптич. приборов, концентрацию энергии в фокусе линзы и энергию, передаваемую от излучателя к приёмнику с конечной апертурой. Д. р. может быть скомпенсирована волноводным режимом распространения (см. Световод) или искажениями эффектами (см. Самофокусировка света).

Лит. см. при ст. Дифракция света. В. А. Вислоух.

**ДИФРАКЦИОННАЯ РЕШЁТКА** — оптич. элемент, представляющий собой совокупность большого числа регулярно расположенных штрихов (кашавок, плеяд, выступов), нанесённых тем или иным способом на плоскую или вогнутую оптич. поверхность. Д. р. используется в спектральных приборах в качестве диспергирующей системы для пространственного разложения эл.-магн. излучения в спектр. Фронт световой волны, падающей на Д. р., разбивается ею на трихиами на отдельные когерентные пучки, к-рые, претерпев дифракцию на штрихах, интерферируют (см. Интерференция света), образуя результатирующее пространственное распределение интенсивности света — спектр излучения.

Существуют отражательные и прозрачные Д. р. На первых штрихи нанесены на аэрокальцу (металлич.) поверхность, и результирующая интерференционная картина образуется в отражённом от решётки свете. На вторых штрихи нанесены на прозрачную (стеклянную) поверхность, и интерференц. картина образуется в проходящем свете.

Если штрихи нанесены на плоскую поверхность, то такие Д. р. наз. плоскими, если на вогнутую — вогнутыми. В современных спектральных приборах используются как плоские, так и вогнутые Д. р., гл. обр. отражательные.

Плоские отражательные Д. р., изготавливаемые с помощью спец. делительных машин с алмазным резцом, имеют прямолинейные, строго параллельные друг другу и эквидистантные штрихи одинаковой формы, к-рая определяется профилем режущей грани алмазного резца. Такая Д. р. представляет собой периодич. структуру с пост. расстоянием  $d$  между штрихами (рис. 1), к-рое наз. периодом Д. р. Различают амплитудные и фазовые Д. р. У первых периодически изменяется коэф. отражения или пропускания, что вызывает изменение амплитуды падающей световой волны (такова решётка

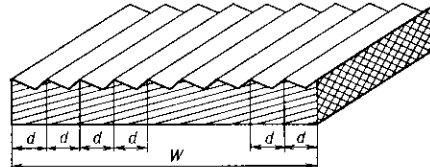


Рис. 1. Схема одномерной периодической структуры плоской дифракционной решётки (сильно увеличено):  $d$  — период решётки;  $W$  — длина нарезной части решётки.

из щелей в непрозрачном экране). У фазовых Д. р. штрихи придаётся спец. форма, к-рая периодически изменяет фазу световой волны.

Если на плоскую Д. р. падает параллельный пучок света, ось к-рого лежит в плоскости, перпендикулярной к штрихам решётки, то, как показывает расчёт, получающееся в результате интерференции когерентных пучков от всех  $N$  штрихов решётки пространственное (по углам) распределение интенсивности света (в той же плоскости) может быть представлено в виде произведения двух ф-ций:  $J_N \cdot J_g$ . Ф-ция  $J_g$  определяется дифракцией света на отд. штрихе, ф-ция  $J_N$  обусловлена интерференцией  $N$  когерентных пучков, идущих от штрихов решётки, и связана с периодич. структурой Д. р. Ф-ция  $J_N$  для данной длины волны  $\lambda$  определяется периодом решётки  $d$ , полным числом штрихов решётки  $N$  и углами, образованными падающим (угол  $\psi$ ) и дифрагированным (угол  $\varphi$ ) пучками с нормалью к решётке (рис. 2), но не зависит от формы штри-